

فصلنامه علمی- پژوهشی زیست‌شناسی میکروارگانیسم‌ها  
سال دوم، شماره ۷، پاییز ۱۳۹۲، صفحه ۵۳-۶۸  
تاریخ دریافت: ۱۳۹۱/۱۲/۰۶ - تاریخ پذیرش: ۱۳۹۲/۰۶/۱۵

## شناسایی و تفکیک قارچ‌ها به روش ATR-FTIR در یک مجموعه آثار چرمی مربوط به عصر سلجویی

\* دانشجوی دکتری مرمت اشیاء فرهنگی و تاریخی، دانشگاه هنر اصفهان، ایران، alireza.k.1989@gmail.com  
حسین احمدی: استادیار مرمت اشیاء فرهنگی و تاریخی، دانشگاه هنر اصفهان، ایران، h.ahmadi@au.ac.ir  
محسن محمدی آچاچلویی: دانشجوی دکتری مرمت اشیاء فرهنگی و تاریخی، دانشگاه هنر اصفهان، ایران، mohsen.mohammadi@au.ac.ir

### چکیده

**مقدمه:** آسیب‌های زیستی نقش مهمی در تخریب آثار تاریخی از جمله چرم، دارند. در این میان میکروارگانیسم‌ها، از مهم‌ترین عوامل تخریب زیستی هستند. شناخت قارچ‌ها و سایر میکروارگانیسم‌های موجود بر چرم و سایر آثار تاریخی، در درک بهتر صدمات و خسارات احتمالی ناشی از آن‌ها که زمینه ساز انتخاب راهکار صحیح برخورد با اشیاء است، ضرورت و اهمیت دارد. روش‌های معمول شناسایی پاتوژن‌ها و قارچ‌ها، بسته به نوع روش، معمولاً همراه با مشکلاتی است و در این بین طیف‌سنجد FTIR به عنوان روشی موفق در تشخیص و شناسایی میکروارگانیسم‌ها معرفی شده است.

**مواد و روش‌ها:** در این مطالعه، نمونه‌هایی از اشیاء چرمی تاریخی مربوط به عصر سلجویی، برای شناسایی جنس قارچ‌ها، در محیط SDA کشت یافت و بر اساس ویژگی‌های ماکروسکوپی، میکروسکوپی و ریخت‌شناسی شناسایی شد. سپس میکروارگانیسم‌ها با هدف امکان‌سنجی تفکیک و شناسایی بر اساس ویژگی‌ها ساختاری به روش ATR-FTIR، ارزیابی شدند. در این راستا، از دو شیوه ارزیابی ویژگی‌های طیفی بر اساس شکل و موقعیت پیک و تحلیل خوشه‌ای بر اساس مساحت زیر نمودار و موقعیت پیک استفاده شد.

**نتایج:** قارچ‌های شناسایی شده مربوط به جنس‌های پنی‌سیلیوم (۹ مورد، ۳۳/۳ درصد)، آسپرژیلوس (۵ مورد، ۱۸/۵ درصد)، کلادوسپوریوم (۴ مورد، ۱۴/۸ درصد)، رایزوکتونیا (۲ مورد، ۷/۴ درصد)، تریکوفیتون (۱ مورد، ۳/۷ درصد) و مخمر (۱ مورد، ۳/۷ درصد) بود. جنس دو گونه از قارچ‌ها (۲ مورد، ۷/۴ درصد) نیز شناسایی نشد و در ۳ نمونه (۱۱/۱ درصد) نیز رشد میکروارگانیسم‌ها مشاهده نشد. بررسی نوارهای جذبی طیف‌های ATR-FTIR نمونه‌های کشت یافته، گویای برخی تفاوت‌های ساختاری در بین میکروارگانیسم‌ها (قارچ، مخمر، باکتری) و نیز در سطح جنس و بعض‌اً گونه‌ی قارچ‌ها بود.

**بحث و نتیجه‌گیری:** فعالیت قارچ‌ها آسیب‌هایی چون تجزیه، هیدرولیز و تخریب ساختار چرم و تانه‌های گیاهی، تغییرات بصری و نیز مشکلات متعدد برای افرادی که با این آثار در تماس اند را در پی دارد. از این‌رو، حذف این عوامل و درمان مناسب آثار، برای جلوگیری از گسترش آسیب به ساختار چرم، امری ضروری است. بررسی ساختار قارچ با استفاده از طیف‌سنجد ATR-FTIR نتایج ناسانی در مورد امکان تفکیک قارچ، مخمر و باکتری به دست داد. این ارزاری کمایش مناسب برای تفکیک و شناسایی آسان و سریع میکروارگانیسم‌ها و جنس‌های مختلف قارچ است. همچنین، در برخی موارد امکان تفکیک در سطح گونه نیز وجود دارد. مزایای این روش در مقایسه با روش‌های معمول دیگر، FTIR را به این ارزاری مناسب در بررسی قارچ‌ها در مقیاس بزرگ تبدیل می‌کند. از این‌رو طیف‌سنجد IR در کنار سایر روش‌های معقول شناسایی، بهبود بهره‌وری در طبقه‌بندی و شناسایی قارچ‌ها را در پی دارد. علاوه‌بر این، با توجه به مشخص کردن ترکیب شیمیایی در این روش، می‌توان از آن در درک بهتر فرآیندهای شیمیایی پیچیده در رشد قارچ و تخریب بستر، استفاده کرد.

**واژه‌های کلیدی:** چرم‌های تاریخی، تخریب زیستی، قارچ، ATR-FTIR، ویژگی‌های طیفی

\* نویسنده مسؤول مکاتبات

## مقدمه

آسیب‌رسان در آثار تاریخی چرمی و آسیب‌های زیستی ناشی از آن‌ها گزارش‌هایی منتشر شده است (۱، ۲، ۸-۱۰). در این میان، آسپرژیلوس و پنی‌سیلیوم از شایع‌ترین کپک‌ها در ارتباط با کپک‌زدگی چرم و کاغذ پوست معروفی شده‌اند (۱۱). با این حال کپک‌های دیگری نیز وجود دارند که به تخریب اشیاء پوستی منجر می‌شوند (۱۲ و ۱۳). فعالیت میکروارگانیسم‌ها محدود به قارچ‌ها و کپک‌های نیست و گروهی از باکتری‌ها همچون استریپومایست‌ها<sup>۳</sup> نیز، نقش مهمی در تخریب آثار دارند (۱۴). روش‌های معمول شناسایی پاتوژن‌ها و قارچ‌ها، بسته به نوع روش، معمولاً همراه با مشکلاتی چون حساسیت کم، زمان بر بودن، هزینه‌ی بالا و عدم شناسایی گونه‌های جدید است و به طور معمول در تعداد نمونه‌های زیاد قابل استفاده نیستند (۱۵-۱۸). در میان روش‌های پیشنهادی برای بررسی سریع، روش‌های زیست‌شناسی مولکولی<sup>۴</sup> به عنوان روش‌های سریع و حساس برای شناسایی در نظر گرفته می‌شوند. اما این روش‌ها هنوز در مقیاس بزرگ کارآمد نیستند (۱۶ و ۱۸). در این بین تشخیص و شناسایی میکروارگانیسم‌ها با استفاده از روش‌های اسپکتروسکوپی<sup>۵</sup> به دلیل حساسیت، سرعت، هزینه‌ی پایین، سادگی روش و عدم استفاده از ترکیبات مضر شیمیایی قابل بررسی و مطالعه است (۱۶ و ۱۹). طیف‌سنگی مادون قرمز تبدیل فوریه (FTIR) از جمله تکنیک‌های طیف‌سنگی در بررسی ساختاری مواد است که با توجه به میزان جذب پرتوهای عبوری مادون قرمز بر اساس ارتعاش مولکولی پوندهای موجود در ساختار مواد (به ویژه ترکیبات آلی)، می‌تواند برای ارزیابی ساختاری به کار رود. با توجه به مشخص شدن ویژگی‌های ساختاری و مولکولی در این شیوه، از این

آسیب‌های زیستی نقش مهمی در تخریب آثار تاریخی از جمله چرم، دارند. در این میان میکروارگانیسم‌ها، از مهم‌ترین عوامل تخریب زیستی هستند (۱). گونه‌های مختلفی از قارچ و کپک، معمولاً به موادی مانند کاغذ، پارچه، چوب، رنگ‌ها و چرم حمله و علایم شناخت مناسبی بر روی اشیاء ایجاد می‌کنند (۲). اکثر این قارچ‌ها از گونه‌های آلرژن شایع هستند و برخی قابلیت تولید مایکوتوكسین<sup>۱</sup> را دارند. بنابراین، برای انسان‌های در تماس با این آثار، خطرناک هستند (۳). آن‌ها از راه استنشاق اسپور سمی و تماس مستقیم پوستی وارد بدن شده و می‌توانند باعث بیماری‌های مختلفی شوند (۴). همچنین، یکی دیگر از نگرانی‌های اصلی در زمینه‌ی کلونیزاسیون قارچی، تغییرات در ویژگی‌های بصری از طریق تغییر رنگ به وسیله‌ی اسیدهای ضعیف تولید شده توسط قارچ و یا تجمع رنگدانه‌ها که ایجاد لکه‌های مختلفی می‌کند، است (۵). همه آثار چرمی دارای ساختاری پروتئینی هستند، که شرایط مناسبی برای رشد قارچ‌های پروتئولیتیک<sup>۲</sup> دارند که به تجزیه ساختار چرم و صدمات جبران ناپذیر به آن‌ها منجر می‌شود (۶). تخریب زیستی مواد آلی به عنوان یک فرآیند بازیافت بسیار با اهمیت است، اما در مورد آثار موزه‌ای، این فرآیند آسیب به مستندات تاریخی را در بر دارد و موجب از دست دادن اطلاعات با ارزشی می‌شود (۷). بنابراین، شناخت قارچ‌های موجود بر چرم و سایر آثار تاریخی، در درک بهتر صدمات و خسارات احتمالی ناشی از آن‌ها، که زمینه‌ساز انتخاب راهکار صحیح برخورد با اشیاء است، ضرورت و اهمیت دارد. در ارتباط با بررسی قارچ‌های

## مواد و روش‌ها

در این بررسی نمونه‌هایی مربوط به یک مجموعه شیء چرمی شامل: مشک، کفش و بقایایی از خز، پوست و سایر اشیاء چرمی که در جریان آواربرداری سال ۱۳۸۵ محوطه‌ی تاریخی قلعه کوه قاین در استان خراسان جنوبی کشف شده بود، مطالعه شد. این آثار که منسوب به دوره‌ی سلجوقی‌اند (قرن ۱۱ تا ۱۳ میلادی)، از زمان کشف تا کنون، تحت مالکیت سازمان میراث فرهنگی، صنایع دستی و گردشگری استان خراسان جنوبی واقع در بیرون جند، هستند. برای شناسایی نوع قارچ، از روش کشت در محیط سابورو دکستروز آگار (SDA؛ محصول شرکت کیولب<sup>۷</sup> کانادا) استفاده شد. شیوه‌ی تهیه، مطابق روش پیشنهادی تولید کننده (۶۵ گرم در هر لیتر) بود. روش کشت، بر اساس اصول ۹۸۹۹ مطرح شده در استانداردهای ملی ایران، شماره‌ی ۳۱۹۴ و ۳۱۹۴ بود (۳۳ و ۳۴). ابزار و محل نمونه برداری، با استفاده از آب ژاول، اتانول و اشعه‌ی UV، و محیط کشت تهیه شده در اتوکلاو با دمای ۱۲۱ درجه سانتی گراد و فشار psi ۲۰ به مدت ۱۵ دقیقه استریل شدند. نمونه‌ها پس از کشت، به مدت ۱۸ روز در دمای ۲۸ درجه سانتی گراد و رطوبت نسبی ۷۰ درصد، قرار گرفتند. شایان ذکر است محفظه انکوباتور نیز پیش از قرارگیری نمونه‌ها، ضد عفنونی شده بود. برای شناسایی قارچ‌ها، ویژگی‌های ماکروسکوپی آن‌ها از جمله شکل، رنگ و سرعت رشد کلونی بررسی شدند. پس از آن ویژگی‌های میکروسکوپی شامل: صفات ریخت‌شناسی و ویژگی‌های ظاهری قارچ‌ها با میکروسکوپ نوری (مدل BK-POL/BK-POLR ساخت کمپانی آلسن<sup>۸</sup> کشور چین) بررسی شد. پس از شناسایی جنس قارچ‌ها،

روش می‌توان در ابعاد گسترده‌ای از علوم زیستی برای دستیابی به اهداف مختلف، استفاده کرد. از جمله روش‌های این طیف‌سنجدی شیوه‌ی انعکاسی یا طیف‌بینی انعکاس کل تضعیف شده تبدیل فوریه مادون قرمز (ATR-FTIR<sup>۹</sup>) است که به ارزیابی پرتوهای انعکاس یافته از نمونه می‌پردازد. یکی از مزایای این شیوه نسبت به روش عبوری، حداقل مراحل مورد نیاز برای آماده‌سازی نمونه و نیز ارزیابی نمونه‌های مختلف که امکان ثبت طیف عبوری آن‌ها وجود ندارد، است. طیف FTIR از هر ترکیب شناخته شده، اثر انگشت منحصر به فردی را ارائه می‌کند (۲۰). از این رو بر اساس برخی مطالعات، طیف‌سنجدی FTIR به عنوان روشی موفق در تشخیص و شناسایی میکرووارگانیسم‌ها مطرح شده است (۱۷ و ۲۱). از این روش در موارد گوناگونی همچون تشخیص و شناسایی سلول‌های سرطانی (۲۲ و ۲۳)، سلول‌های آلوده به ویروس (۲۴) و میکرووارگانیسم‌ها همچون قارچ‌ها (۱۶، ۱۸، ۱۹، ۲۵-۳۰) استفاده شده است. این روش، شیوه‌ای سریع در تفکیک قارچ‌ها در سطح جنس است (۱۸) و در برخی موارد نیز امکان تفکیک در سطح گونه نیز وجود دارد (۳۱ و ۳۲). در راستای آنچه گفته شد، تعدادی شیء چرمی تاریخی مربوط به دوره‌ی سلجوقی (با قدمتی حدود ۸۰۰ سال) با هدف شناسایی قارچ‌های موجود بر روی آن‌ها بر اساس ویژگی‌های ماکروسکوپی، میکروسکوپی و ریخت‌شناسی بررسی شدند. پس از شناسایی، برخی از آن‌ها با هدف امکان‌سنجدی تفکیک و شناسایی میکرووارگانیسم‌ها به وسیله‌ی طیف‌بینی انعکاس کل تضعیف شده تبدیل فوریه مادون قرمز (ATR-FTIR) بر اساس ویژگی‌های ساختاری، ارزیابی شدند.

نماج

شناسایی، قارچ‌ها و تأثیرات آن‌ها

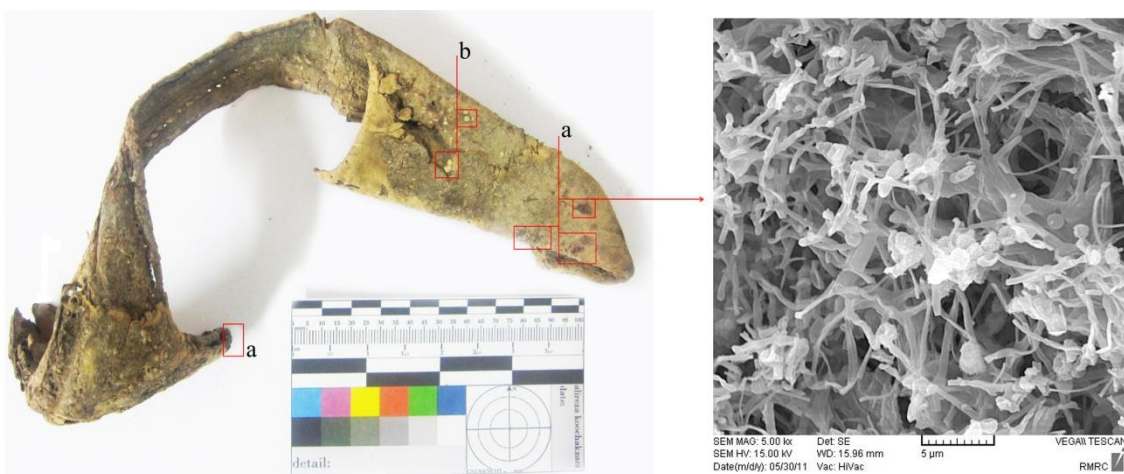
در مجموع از آثار مورد بررسی، ۲۳ نمونه قارچ همراه یک نمونه مخمر جداسازی شد. جدایه های بررسی شده، بر اساس نتایج حاصل از بررسی ویژگی های ماکروسکوپی و میکروسکوپی، مربوط به جنس های پنی سیلیوم (۹ مورد، ۳۳/۳ درصد)، آسپرژیلوس (۵ مورد، ۱۸/۵ درصد)، کلادوسپوریوم (۴ مورد، ۱۴/۸ درصد)، رایزوکتونیا (۲ مورد، ۷/۴ درصد) و تریکوفیتون (۱ مورد، ۳/۷ درصد) و همچنین مخمر (۱ مورد، ۳/۷ درصد) بود. جنس دو گونه از قارچ ها (۲ مورد، ۷/۴ درصد) نیز شناسایی نشد. علاوه بر موارد ذکر شده، در ۳ نمونه (۱۱/۱ درصد) نیز رشد میکرو ارگانیسم ها مشاهده نشد. نتایج حاصل از بررسی ماکروسکوپی و میکروسکوپی قارچ ها و شناسایی جنس آن ها، در جدول ۱ ذکر شده است. موارد مشخص شده در این جدول، مورد طیف سنجی ATR-FTIR قرار گرفتند. علاوه بر نمونه های ذکر شده در جدول، در ۱۶ نمونه دیگر، کلونی باکتری تشکیل شد و از بین این موارد نیز دو نمونه بررسی شد.

نمونه‌هایی به شکل جامد و از هر دو بخش می‌سیلیوم و اسپور مورد مطالعه FTIR قرار گرفتند. برای بررسی ساختاری از دستگاه طیف‌سنج تبدیل فوریه مادون قرمز<sup>۹</sup> مدل نیکولت نکسوز<sup>۱۰</sup> ساخت شرکت ترمو نیکولت<sup>۱۱</sup> آمریکا، متصل به نرم‌افزار OMNIC، مجهز به ابزار ثبت انعکاسی (ATR)<sup>۱۲</sup> با سطح آنالیزور کریستال ZnSe، به روش ATR، استفاده شد. محدوده مورد بررسی ۶۰۰ تا  $4000\text{ cm}^{-1}$  و طیف‌ها حاصل ۳۲ پیمایش با تفکیک پذیری  $4\text{ cm}^{-1}$  بودند. قبل از هر آزمون، دستگاه با طیف هوا به عنوان زمینه، کالیبره می‌شد. سپس طیف‌ها به منظور سنجش امکان تفکیک و شناسایی جنس‌ها و گونه‌های مختلف قارچ و نیز سایر میکروارگانیسم‌ها بر اساس شکل و موقعیت پیک‌ها ارزیابی شدند. علاوه بر این تحلیل خوش‌های به روش وارد<sup>۱۳</sup> نیز بر اساس مساحت زیر نمودار طیف‌ها در  $4\text{ cm}^{-1}$  محدوده ۱۷۸۰ تا  $2800\text{ cm}^{-1}$ ، ۳۰۰۰ تا  $1485\text{ cm}^{-1}$  و ۹۰۰ تا  $1185\text{ cm}^{-1}$  و همچنین موقعیت قرار گیری کلیه‌ی پیک‌ها، پس از تصحیح خط زمینه<sup>۱۴</sup>، ارزیابی شد. در این راستا از ویرایش ۱۹ برنامه SPSS استفاده شد.

#### جدول ۱- قارچ‌های شناسایی شده بر روی نمونه‌های چرم

ساختار پروتئینی چرم منجر می‌شوند. پروتئازهایی مانند کلارنزاها و کراتینازهای حاصل از آسپرژیلوس و پنی‌سیلیوم را می‌توان از عوامل شایع در آسیب آثار بررسی شده دانست (۴۴). فعالیت قارچ‌ها به تجزیه پروتئین‌ها به آمینو اسیدها منجر می‌شود و برخی از اسیدهای آلی را تولید می‌کنند؛ که نتیجه‌ی آن هیدرولیز الیاف کلارنزا و تخریب چرم است (شکل ۱).

در بین قارچ‌های شناسایی شده، بیشتر گونه‌ها مربوط به دو جنس آسپرژیلوس و پنی‌سیلیوم است، که با توجه به همه‌جایی بودن این دو جنس، قابل توجیه است (۳۶). در گزارش‌های منتشر شده نیز، معمولاً بیشترین درصد قارچ‌ها را در آرشیو و موزه‌ها دارا هستند (۱، ۳۷ و ۳۸). در آثار چرمی و پوستی، کلارنزا و کراتین، بخش اعظم پروتئین موجود در ساختار آن‌ها را شامل می‌شود. این قارچ‌ها با تولید آنزیم‌های پروتئاز (۴۳-۴۹) به تجزیه

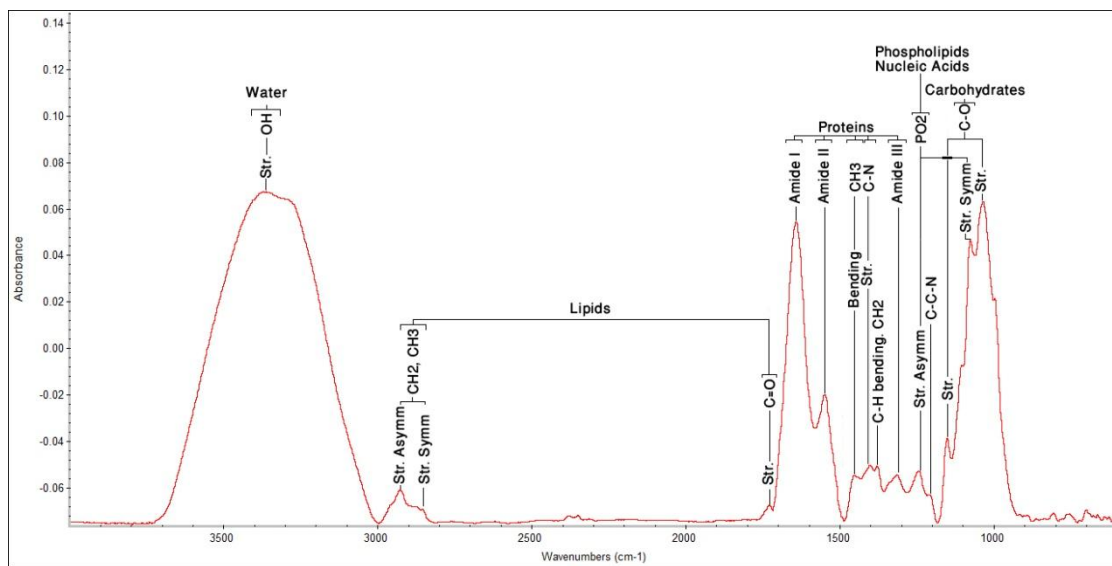


شکل ۱- چپ: بقایای لگه کفشی چرمی (SH2 Tri)؛ a: کلونی‌های سفید تشکیل شده بر روی سطح چرم مربوط به قارچ تریکوفیتون؛ b: لکه‌های قرمز ایجاد شده توسط فعالیت قارچ؛ راست: شکل ۱۵ SEM از مقطع عرضی لکه‌های قرمز با بزرگنمایی ۵۰۰۰ برابر که نشان‌دهنده نفوذ قارچ به لایه‌های زیرین چرم و تخریب شدید الیاف کلارنزا است که به‌شکل کاهش استحکام و پودری شدن الیاف سطحی چرم دیده می‌شود (آرشیو نگارنده)

می‌شود که در نهایت به تشکیل سیتریک اسید و پروتئیک اسید منجر می‌شوند (۴۵-۵۰). تشکیل این اسیدها افزایش شدت هیدرولیز در الیاف کلارنزا را نیز در پی دارد. این قارچ‌ها علاوه بر تخریب ساختار چرم، سمومی را تولید می‌کنند که می‌تواند برای افرادی که در تماس با آن‌ها هستند، مضر باشد. این قارچ‌های آلرژی‌زا با توجه به قابلیت تولید مایکوتوكسین (۲، ۳ و ۳۵) مشکلات متعددی را برای افراد ایجاد می‌کنند و از راه استنشاق اسپور سمی و تماس مستقیم پوستی وارد بدن شده و می‌توانند باعث بیماری‌های مختلفی شوند (۴).

همچنین قارچ‌ها و باکتری‌ها چه در شرایط هوایی و غیر هوایی، جدا از هیدرولیز و تخریب الیاف کلارنزا، هیدرولیز تانن‌های گیاهی رانیز در پی دارند. به عنوان مثال، کاتشین<sup>۱۶</sup> که از مهم‌ترین تانن‌های گروه متراکم<sup>۱۷</sup> شونده است، تحت تأثیر قارچ‌ها و باکتری‌ها هیدرولیز شده، که نتیجه‌ی آن تشکیل اسیدهای آلی است. نتیجه فعالیت در شرایط بی‌هوایی، هیدرولیز کاتشین و تشکیل متابولیت‌های اسیدی<sup>۱۸</sup> است. در شرایط هوایی نیز ترکیباتی چون بتا-کتوآدیپات<sup>۱۹</sup>، پروتوکاتکوئیک<sup>۲۰</sup>، فلوروگلوسینول کربوکسیلیک اسید<sup>۲۱</sup> و کاتکول<sup>۲۲</sup> تولید

(۱۶) و  $1417\text{cm}^{-1}$  (C-N) (۱۸) مربوط به ترکیبات پروتئینی موجود در قارچ است. جذب‌هایی در محدوده  $1730\text{cm}^{-1}$  (C=O) (۱۶ و ۵۴)،  $2856\text{cm}^{-1}$  (CH<sub>3</sub>) و  $2930\text{cm}^{-1}$  (CH<sub>2</sub>) (۱۸، ۳۰ و ۵۵) اشاره به ساختار چربی‌های قارچ دارد. پیک‌های موجود در  $1076\text{cm}^{-1}$  و  $1243\text{cm}^{-1}$  مربوط به PO<sub>2</sub> در فسفولیپیدها (۱۶، ۱۹ و ۵۴) و یا اسیدهای نوکلئیک (۱۸) است. همچنین، پیک‌های  $1034\text{cm}^{-1}$  و  $1152\text{cm}^{-1}$  اشاره به C-O در کربوهیدرات‌ها (پلی ساکاریدها) دارند (۱۸ و ۵۶). در این محدوده، بتا (۱-۳) پلی ساکاریدها<sup>۳۳</sup> در حدود  $1150\text{cm}^{-1}$ ،  $1100\text{cm}^{-1}$  و  $1078\text{cm}^{-1}$  در بتا (۱-۳) گلوکان<sup>۳۴</sup> در  $1035\text{cm}^{-1}$ ، گالاكتومانان‌ها<sup>۳۵</sup>، بتا (۱-۳) پلی ساکاریدها در  $1015\text{cm}^{-1}$ ، بتا (۱-۶) گلوکان‌ها<sup>۳۶</sup> در  $990\text{cm}^{-1}$  و مانان‌ها<sup>۳۷</sup> در حدود  $965\text{cm}^{-1}$  جذب‌هایی را دارند (۱۸). طیف جذبی در  $1378\text{cm}^{-1}$  به OH آب (۱۸) مربوط است و نیز اشاره به پیوند C-H<sup>۱۶</sup> در CH<sub>2</sub> (۱۶) دارد. همچنین جذب در حدود  $1209\text{cm}^{-1}$  اشاره به C-C-N (۱۶) دارد.



شکل ۲- گروه‌های عاملی کلی موجود در طیف ATR-FTIR قارچ (پنی‌سیلیوم) در محدوده  $4000-4000\text{cm}^{-1}$ ، پس از تصحیح خط زمینه

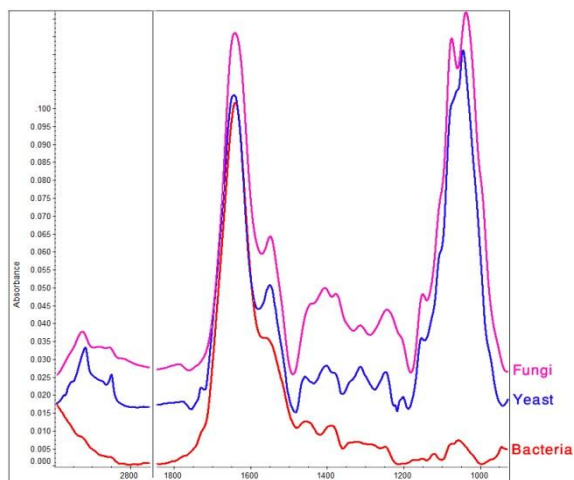
آسپرژیلوس قابلیت تولید زهراهای آفلاتوکسین<sup>۳۳</sup>، B1<sup>۳۴</sup> و M1، اکراتوکسین<sup>۴۴</sup>، پاتولین<sup>۳۵</sup>، استریگما توسيستین<sup>۳۶</sup> و سیکلوبیازونسور<sup>۳۷</sup> و پنی‌سیلیوم توانایی تولید اکراتوکسین A، سیترینین<sup>۳۸</sup>، پاتولین، سیکلوبیازونسور و پنی‌تیرام<sup>۳۹</sup>، A، را دارد. همچنین کلادوسپوریوم می‌تواند فاگی کلادوسپوریک اسید<sup>۳۰</sup> و اپی کلادوسپوریک اسید<sup>۳۱</sup> تولید کند (۵۱ و ۵۲). قارچ‌های جنس کلادوسپوریوم و پنی‌سیلیوم به عنوان عوامل ایجاد آسم شناخته شده‌اند و جنس آسپرژیلوس عامل طیف وسیعی از بیماری‌هایی است که تحت عنوان آسپرژیلوزیس<sup>۳۲</sup> شناخته می‌شود (۵۳).

#### تفکیک بر اساس شکل و موقعیت پیک در طیف-ATR-FTIR

شکل ۲، دیاگرام ATR-FTIR، مربوط به قارچ (کد نمونه P8 در جدول ۲) را نشان می‌دهد. در این دیاگرام، برخی از مهم‌ترین گروه‌های عاملی موجود در ساختار قارچ مشخص شده‌است. باندهای جذبی (Amide II)  $1550\text{cm}^{-1}$ ، (Amide I)  $1642\text{cm}^{-1}$  و (CH<sub>3</sub>)  $1453\text{cm}^{-1}$ ، (۱۸)(Amide III)  $1315\text{cm}^{-1}$ ، (۵۴)

دارد. در کلادوسپوریوم، در حدود  $997\text{cm}^{-1}$  (برای پلی‌ساقاریدها) بر خلاف جنس‌های دیگر جذبی نمی‌توان مشاهده کرد و در تریکوفیتون جذب مربوط به گالاکتومانان‌ها و بتا (۱-۳) پلی‌ساقاریدها در دیواره‌ی سلولی، در حدود  $1010\text{cm}^{-1}$  دیده می‌شود. علاوه بر این، نوار جذبی قارچ تریکوفیتون از نظر شکل و شدت جذب، به روشنی با جنس‌های دیگر، متفاوت است. نمونه‌ی آسپرژیلوس نیز با داشتن دو جذب مشخص در  $1222$  و  $1349\text{cm}^{-1}$  که در نمونه‌های دیگر چندان قابل مشاهده نیست و عدم مشاهده‌ی دو جذب در حدود  $1315$  و  $1378\text{cm}^{-1}$  بر خلاف سایر نمونه‌ها، از قارچ‌های دیگر تفکیک پذیر است. همچنین شدت جذب حدود  $1450\text{cm}^{-1}$  در آسپرژیلوس کاهش قابل توجهی دارد. در نمونه‌ی رایزوکتونیا، جذب در  $1378\text{cm}^{-1}$ ، شدت آن افزایش یافه و همچنین در  $1325\text{cm}^{-1}$  طیف جذبی مربوط به پلی‌ساقاریدها نسبت به سایر قارچ‌ها شکلی شارپ‌تر و نوک‌تیزتر دارد، که در دیگر نمونه‌ی بررسی شده نیز (کد نمونه Rh2 در جدول ۲)، قابل مشاهده بود و علاوه بر آن سایر قارچ‌ها این جذب را در حدود  $1035\text{cm}^{-1}$  نشان می‌دهند. تفاوت‌های جزئی دیگری نیز همچون  $1743\text{cm}^{-1}$  برای C=O در کلادوسپوریوم و برخی موارد دیگر نیز قابل مشاهده است. براساس ویژگی‌های ماکروسکوپی در نمونه‌های جنس کلادوسپوریوم، احتمالاً سه گونه با ویژگی‌های کلونی متفاوت وجود دارد. شکل ۵، طیف‌های ATR-FTIR این قارچ‌ها را نشان می‌دهد. براساس ویژگی‌های ماکروسکوپی، Cla1 و Cla2 مربوط به یک گونه، Cla3 نیز گونه‌ای دیگر و همچنین Cla4 و Cla5 نیز احتمالاً متعلق به گونه‌ی دیگری از جنس کلادوسپوریوم هستند. بر این اساس، طیف‌های

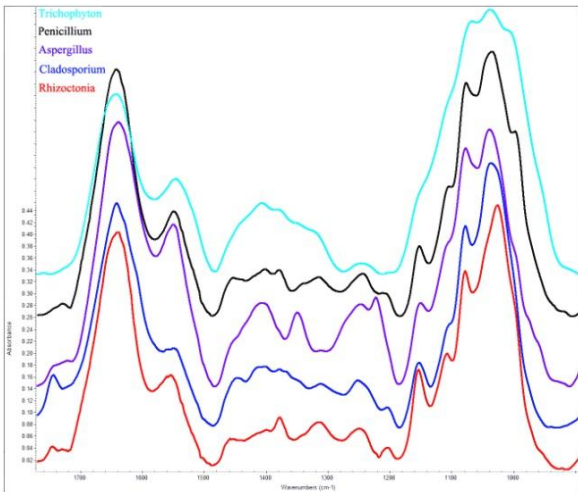
در شکل ۳، تفاوت‌های ساختاری بین قارچ، مخمر و باکتری بر اساس تفاوت در نوارهای جذبی طیف ATR-FTIR ارزیابی شده است. تفاوت واضحی میان نوار جذبی باکتری (رنگ قرمز) با طیف‌های مخمر و قارچ به ویژه در بازه‌ی  $900$  تا  $1200\text{cm}^{-1}$  مربوط به ترکیبات پلی‌ساقارید (۲۹) وجود دارد. همچنین شدت جذب در محدوده‌ی  $2800$  تا  $3000\text{cm}^{-1}$  برای گروه‌های  $\text{CH}_2$  و  $\text{CH}_3$  بسیار کاهش یافته است. تفکیک نوارهای جذبی ATR-FTIR مربوط به مخمر و قارچ کمی مشکل‌تر است. مطابقت طیف مخمر با طیف‌های جذبی کلیه قارچ‌های بررسی شده، گویای کاهش شدید شدت جذب مخمر در حدود  $1075$  تا  $1080\text{cm}^{-1}$  نسبت به قارچ‌هاست. این طیف اشاره به بتا (۱-۳) پلی‌ساقاریدها در دیواره‌ی سلولی قارچ‌ها و یا گروه عاملی  $\text{PO}_2$  در فسفولیپید و نوکلئیک اسیدها دارد.



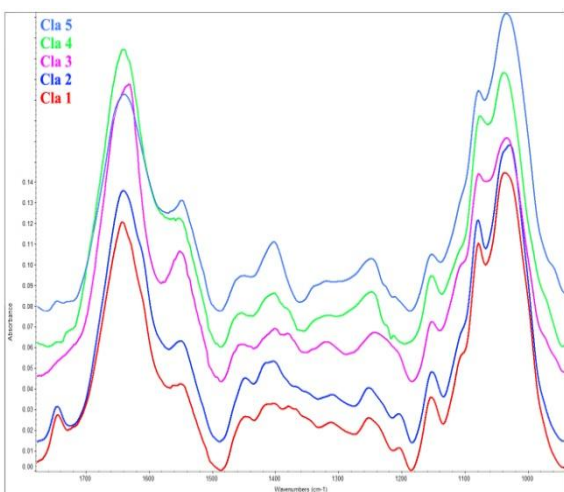
شکل ۳- مقایسه نوار جذبی طیف ATR-FTIR قارچ، مخمر و باکتری

بررسی طیف ATR-FTIR گونه‌هایی از جنس‌های رایزوکتونیا، کلادوسپوریوم، آسپرژیلوس، پنی‌سیلیوم و تریکوفیتون در شکل ۴، نشان از برخی تفاوت‌های ساختاری در نوارهای جذبی جنس‌های مختلف قارچ

بازه‌ی مختلف را می‌توان مشاهده کرد. نمونه‌ها در این نمودارها، مطابق جدول ۲، کد گذاری شده‌اند.



شکل ۴- طیف‌های ATR-FTIR قارچ‌هایی از جنس (از بالا به پایین) تریکوفیتون، پنی سیلیوم، آسپرژیلوس، کلادوسپوریوم و رایزن و کوتینا



شکل ۵- طیف‌های ATR-FTIR از گونه‌هایی از قارچ کلادوسپریوم

ATR-FTIR این قارچ‌ها را نیز می‌توان به سه دسته مبنی بر تفاوت‌ها و تشابهات نوار جذبی تقسیم کرد. Cla1 و Cla2 در  $1240\text{cm}^{-1}$ ، Cla4 و Cla5 به ترتیب در  $1211\text{cm}^{-1}$  و  $1212\text{cm}^{-1}$  دارای جذبی با شدت کم‌تر هستند؛ و در Cla3، شکل پیک در این ناحیه کاملاً متفاوت شده و در  $1251\text{cm}^{-1}$ ، Cla3 در  $1241\text{cm}^{-1}$  و Cla3,4 در  $1247\text{cm}^{-1}$  دارای جذب هستند. در حدود  $1355\text{cm}^{-1}$  نیز نوارهای جذبی Cla1,2 از طیف‌های ۳ نمونه‌ی دیگر کاملاً متمایز است، علاوه بر این، طیف C=O در این دو نمونه در حدود  $1745\text{cm}^{-1}$  مشخص است، اما در Cla3 چندان قابل مشاهده نیست و در  $1745\text{cm}^{-1}$  نیز از لحاظ شدت و شکل پیک متمایز از گروه اول است. Cla3، در Cla1,2 Amide در  $1641\text{cm}^{-1}$  و  $1640\text{cm}^{-1}$  در  $1631\text{cm}^{-1}$  و  $1639\text{cm}^{-1}$  دارای جذب ایست.

در این پژوهش، بررسی به منظور تفکیک گونه‌های مختلف پنی سیلیوم نیز بر اساس ویژگی‌های میکروسکوپی و ماکروسکوپی و تلفیق با نوارهای جذبی طیف‌های ATR-FTIR انجام شد، که نتایج چندان قابل استناد نبود و نیاز به بررسی‌های بیشتر محسوس است.

#### تحلیل خوشای بر اساس مساحت زیر نمودار

ATR-FTIR

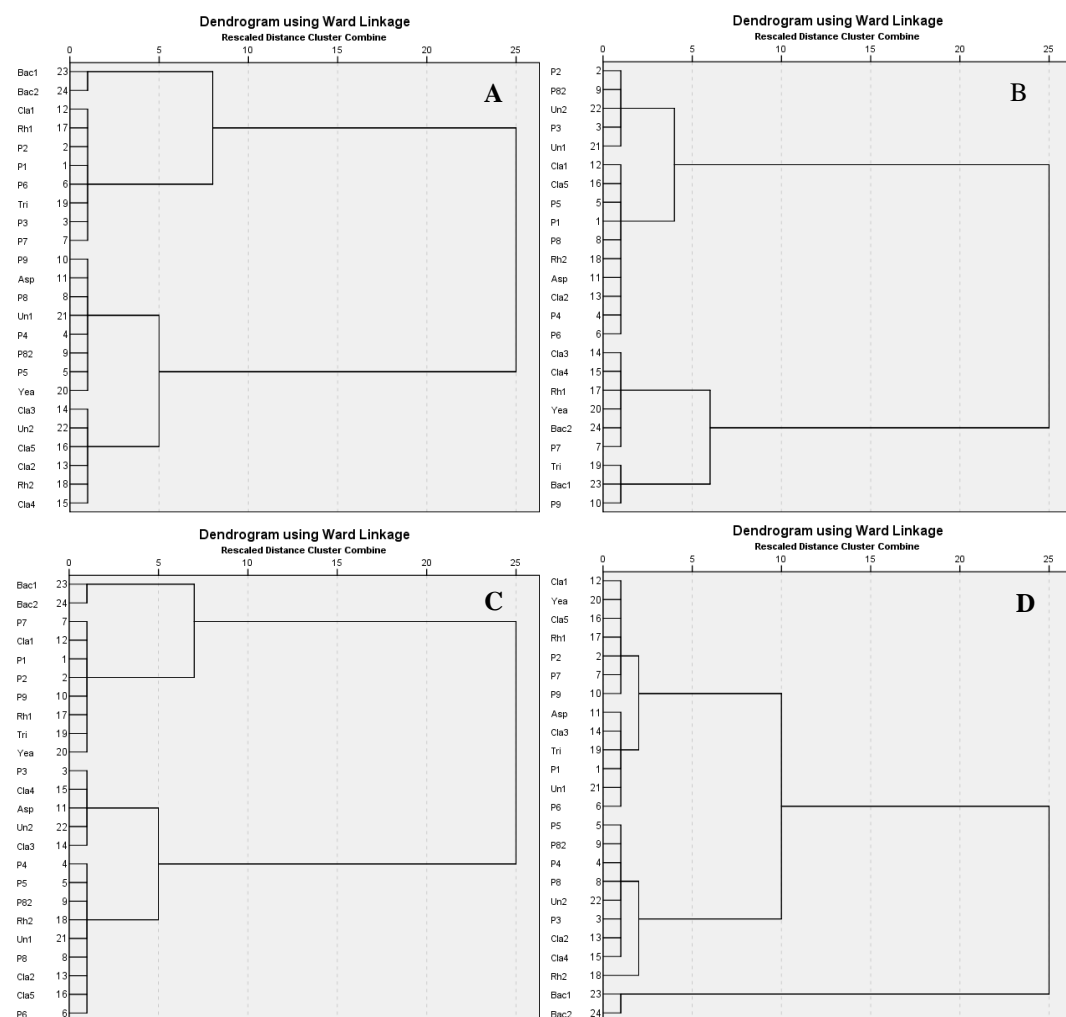
در شکل ۶، نمودارهای مربوط به تحلیل خوشه‌ای طیف‌های قارچ‌ها بر اساس مساحت زیر نمودار در چهار

جدول ۲- کد میکروارگانیسم‌های مورد بررسی ATR-FTIR، بر اساس نوع و جنس آن‌ها

نوع و جنس									
باکتری	شناسایی نشد	محمر	تیریکوفیتون	رایزو-کتونیا	کلادو-سپوریوم	آسپرژیلوس	پنی سیلیوم		کد نمونه
Ba2				Rhi2	Rhi1	Cla5	P9		
Bal					Cla4	Cla3	P82		
Un2					Cla2	Cla1	P8		
Un1							P7		
Yea			Tii				P6		
							P5		
							P4		
							P3		
							P2		
							P1		

نمونه‌های کلادوسپوریوم (شکل ۴)، می‌توان عنوان کرد که میزان چربی در قارچ کلادوسپوریوم به مرائب پنی‌سیلیوم است. باکتری‌ها نیز با توجه به نتایج حاصل، در بازه‌های  $2800\text{ cm}^{-1}$  تا  $1185\text{ cm}^{-1}$  از جنس‌های مختلف قارچ تفکیک‌پذیر هستند و در محدوده‌ی  $900\text{ cm}^{-1}$  تا  $1185\text{ cm}^{-1}$  به طور کامل از قارچ‌ها و مخمرها جداسازی شده‌اند. این بازه به ترکیبات پلی‌ساقاریدی مربوط است که در ساختار باکتری میزان آن بسیار کم‌تر از قارچ و مخمر است و می‌تواند در تفکیک آن‌ها استفاده شود.

با توجه به تعداد نمونه‌های هر گروه از قارچ‌ها، هدف از خوشه‌بندی بیش‌تر تفکیک کلادوسپوریوم و پنی‌سیلیوم است. در مورد سایر قارچ‌ها، با توجه به تعداد محدود آن‌ها که در حدود ۱ یا ۲ نمونه است، تفکیک به این روش ممکن نیست. با وجود این، ارزیابی در محدوده‌ی  $2800\text{ cm}^{-1}$  تا  $3000\text{ cm}^{-1}$ ، امکان جداسازی قارچ‌های کلادوسپوریوم را تا حدودی فراهم می‌آورد. این محدوده که به گروه‌های  $\text{CH}_3$  و  $\text{CH}_2$  مربوط است، در نمونه‌های کلادوسپوریوم، تقریباً مساحت بیش‌تری را نسبت به قارچ پنی‌سیلیوم در بر می‌گیرد و با درنظر گرفتن میزان بیش‌تر  $\text{C=O}$  در محدوده‌ی  $1740\text{ cm}^{-1}$  در

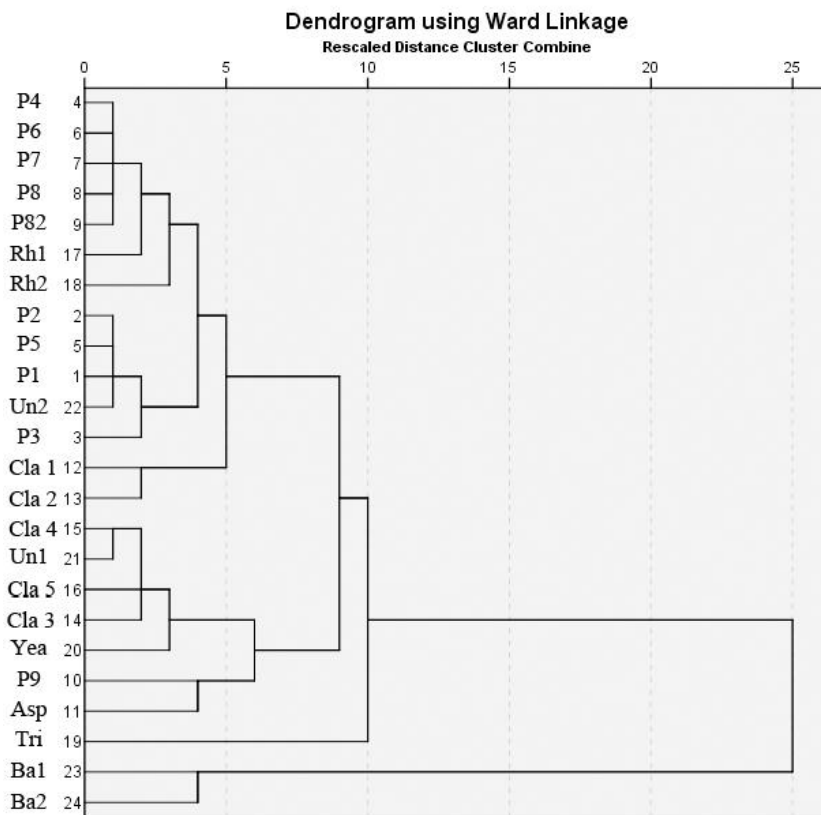


شکل ۶- نتایج تحلیل خوشه‌ای بر اساس مساحت زیر نمودار طیف‌های ATR-FTIR، پس از تصحیح خط زمینه در چهار محدوده‌ی  $1185\text{ cm}^{-1}$  تا  $1485\text{ cm}^{-1}$  (C)،  $1485\text{ cm}^{-1}$  تا  $1780\text{ cm}^{-1}$  (B)،  $900\text{ cm}^{-1}$  تا  $1185\text{ cm}^{-1}$  (D) و  $2800\text{ cm}^{-1}$  تا  $3000\text{ cm}^{-1}$  (A)

دهنده‌ی امکان تفکیک این قارچ به‌این شیوه است. اما در مورد قارچ کلادوسپوریوم، گونه‌های این قارچ در دو دسته‌ی مجزا قرار دارند. با وجود این، گونه‌های مشابه Cla4,5 و Cla1,2، خوش‌هایی مشابه دارند، که نشان دهنده‌ی تفکیک‌پذیری این قارچ در سطح گونه است. در این بررسی، مخمر و آسپرژیلوس نیز، تا حدودی نسبت به سایر قارچ‌ها تفکیک‌پذیر هستند. اما در این نمودار، با وجود تشابه قارچ‌های رایزوکتونیا، امکان تفکیک آن‌ها از جنس پنی‌سیلیوم امکان‌پذیر نیست.

### تحلیل خوش‌های بر اساس موقعیت پیک در طیف‌های ATR-FTIR

شکل ۷، نمودار تحلیل خوش‌های بر اساس عدد موجی پیک‌های مربوط به آزمون ATR-FTIR نمونه‌های قارچ و دیگر میکروارگانیسم‌ها را نشان می‌دهد. در این بررسی، باکتری‌ها به طور کامل از سایر میکروارگانیسم‌های بررسی شده تفکیک‌پذیر هستند و قارچ تریکوفیتون نیز در خوش‌های مجزا نسبت به سایر قارچ‌ها قرار گرفته است. نمونه‌های پنی‌سیلیوم نیز به جز کد نمونه‌ی P9، در خوش‌های مشابه قرار دارند که نشان



شکل ۷- نتایج تحلیل خوش‌های بر اساس عدد موجی مربوط به پیک‌های ATR-FTIR در محدوده ۶۰۰ تا  $4000\text{cm}^{-1}$

عوامل متعددی در تخریب آثار چرمی دخیل‌اند؛ که دسته‌ی مهمی از آن‌ها عوامل زیستی و به ویژه قارچ‌ها هستند. بررسی اشیاء چرمی قلعه کوه قاین، نشان‌دهنده‌ی فعالیت قارچ‌هایی از جنس پنی‌سیلیوم، آسپرژیلوس، کلادوسپوریوم، رایزوکتونیا و تریکوفیتون و نیز باکتری

### بحث و نتیجه‌گیری

آثار چرمی با ارزشی در گذر زمان، باقی مانده و امروزه در بسیاری از موزه‌ها و آرشیوها دیده می‌شوند. ساختار چرم بسیار آسیب‌پذیر بوده و از این رو سرعت تخریب آن نسبت به بسیاری از آثار دیگر، بیشتر است.

بر اساس موقعیت و شکل پیک، امکان تفکیک گونه‌های قارچ نیز، وجود دارد. در موارد بررسی شده، این روش در تفکیک گونه‌های مورد بررسی جنس کladوspوریوم عملکرد مناسبی از خود نشان داد. بر اساس نتایج تحلیل آماری مساحت زیر نمودار به روش خوش‌های نیز می‌توان گفت، این شیوه به سبب تفاوت در میزان چربی در جنس‌های پنی‌سیلیوم و کladوspوریوم، تا حدودی می‌تواند در تفکیک آن‌ها، در محدوده‌ی ۲۸۰۰ تا  $3000\text{ cm}^{-1}$  مورد استفاده قرار گیرد و عملکرد مناسبی در تفکیک قارچ و باکتری به ویژه در ناحیه ۹۰۰ تا  $1185\text{ cm}^{-1}$  مربوط به پلی‌ساکاریدها دارد. اما تحلیل آماری خوش‌های بر اساس عدد موجی مربوط به پیک‌ها، عملکرد مناسب‌تری در تفکیک قارچ‌ها و سایر میکروارگانیسم‌ها از خود نشان داد. در این شیوه تفکیک پذیری تعداد بیشتری از قارچ‌ها ممکن بود. جدا از آن، نمونه‌های P8 و P82 که به یک کلونی مربوط هستند، در این شیوه، تشابه بیشتری را نسبت به ارزیابی مساحت زیر نمودار نشان می‌دهند. از این رو، می‌توان FTIR را در کنار سایر روش‌های شناسایی، به عنوان ابزاری کمایش مناسب برای تفکیک آسان و سریع قارچ و دیگر میکروارگانیسم‌ها، به کار برد. سادگی در آماده‌سازی نمونه، اجتناب از استفاده از مواد شیمیایی با توجه به هزینه و اثرات منفی زیست محیطی آن‌ها، قابل اطمینان بودن نتایج، زمان کوتاه در هر تحلیل در مقایسه با روش‌های معمول دیگر، روش ATR-FTIR را به ابزاری مناسب در بررسی قارچ‌ها در مقیاس بزرگ تبدیل می‌کند. با وجود این نمی‌توان تنها با استناد به نتایج این شیوه در ارتباط با قارچ‌ها و سایر میکروارگانیسم‌ها اظهار نظر کرد و به نظر می‌رسد نتایج این روش در ارتباط با شناسایی و تفکیک

و مخمر بود. این قارچ‌ها با توجه به تولید زهرابه‌های گوناگون، توانایی ایجاد مشکلات و بیماری‌های گوناگونی را برای کارکنانی که با این اشیاء در ارتباطند دارند. از طرفی فعالیت این قارچ‌ها که همراه با تولید آنزیم‌های پروتئاز است، موجب تخریب چرم شده و جدا از آسیب‌های ساختاری چون تجزیه و هیدرولیز الیاف، در ویژگی‌های ظاهری اثر نیز تأثیر می‌گذارند. میکروارگانیسم‌ها علاوه بر ساختار کلژن، تانن‌های گیاهی را نیز تخریب می‌کنند که معمولاً محصول نهایی آن، اسیدهای آلی است. این اسیدهای آلی، که حاصل فعالیت قارچ بر روی چرم است، هیدرولیز اسیدی زنجیره‌های کلژن چرم را در پی دارد. هر چند شرایط مخازن، محیط ایده آل رشد قارچ نیست، اما این عوامل قابلیت فعالیت آرام، اما پیوسته را دارند؛ که نتیجه‌ی آن، از دست دادن اطلاعات و آثار ارزشمند تاریخی است. از این‌رو، نتایج حاصل می‌تواند در انتخاب راهکار مناسب درمانی برای این آثار، مفید واقع شود. بررسی ساختار قارچ با استفاده از طیف‌سنجدی ATR-FTIR و بر اساس شکل و موقعیت پیک، نتایج مناسبی در مورد امکان تفکیک قارچ، مخمر و باکتری عرضه کرد. باکتری‌ها در محدوده ۹۰۰ تا  $1200\text{ cm}^{-1}$  و پلی‌ساکاریدها و  $2800$  تا  $3000\text{ cm}^{-1}$  برای  $\text{CH}_2$  و  $\text{CH}_3$  با قارچ‌ها و مخمرها تفاوت واضحی دارد. همچنین شدت جذب در حدود ۱۰۷۵ تا  $1080\text{ cm}^{-1}$  مربوط به بتا (۱-۳) پلی‌ساکاریدها در دیواره‌ی سلولی و یا گروه  $\text{PO}_2$  در فسفولیپید و نوکلائیک اسیدها در مخمر نسبت به قارچ کاهش یافته‌است. بررسی جنس‌های رایزوکتونیا، کladوspوریوم، آسپرژیلوس، پنی‌سیلیوم و تریکوفیتون، برخی تفاوت‌های ساختاری در بازه‌ی ۹۰۰ تا  $1750\text{ cm}^{-1}$  را نشان می‌دهد. همچنین در برخی موارد،

- (4) Bennett JW, Klich M. Mycotoxins. *Clinical Microbiology Reviews* 2003; 16 (3): 497-516.
- (5) Arai H. Foxing caused by Fungi: twenty-five years of study. *International Biodeterioration & Biodegradation* 2000; 46 (3): 181-8.
- (6) Strzelczyk AB. Observations on aesthetic and structural changes induced in Polish historic objects by microorganisms. *International Biodeterioration & Biodegradation* 2004; 53 (3): 151-6.
- (7) Cappitelli F, Sorlini C. From Papyrus to Compact Disc: The Microbial Deterioration of Documentary Heritage. *Critical Reviews in Microbiology* 2005; 31 (1): 1-10.
- (8) Nigam N, Dhawan S, Nair MV. Deterioration of feather and leather objects of some Indian museums by keratinophilic and non-keratinophilic fungi. *International Biodeterioration & Biodegradation* 1994; 33 (2): 145-52.
- (9) Strzelczyk AB, Bannach L, Kurowska A. Biodeterioration of archeological leather. *International Biodeterioration & Biodegradation* 1997; 39 (4): 301-9.
- (10) Pinzari F, Colaizzi P, Maggi O, Persiani AM, Schütz R, Rabin I. Fungal bioleaching of mineral components in a twentieth-century illuminated parchment. *Anal Bioanal Chem* 2012; 402 (4): 1541-50.
- (11) Polacheck I, Salkin IF, Schenhav D, Ofer L, Maggen M, Haines JH. Damage to an ancient parchment document by Aspergillus. *Mycopathologia* 1989; 106 (2): 89-93.
- (12) Allsopp D, Seal KJ. *An Introduction to Biodeterioration*. London: Edward Arnold; 1986.
- (13) Nigam N, Kushwaha RKS. Biodegradation of keratinous substrates. In: Toishi K, editor. *Biodeterioration of Cultural Property 2. Proceedings of the 2nd International Conference on Biodeterioration of Cultural Property*; 1992 Oct 5-8; Yokohama, Japan. Tokyo: International Communications Specialists; 1993. p:180-5.

میکروارگانیسم‌ها، تنها در تلفیق با سایر روش‌های شناسایی قابل بررسی و بحث است. از این رو طیف‌سنجی IR در کنار سایر روش‌های معمول مورد استفاده، بهبود بهره‌وری در طبقه‌بندی و شناسایی قارچ‌ها را در پی دارد. علاوه بر این، با توجه به مشخص کردن ترکیب شیمیایی در این تحلیل، می‌توان از آن در درک بهتر فرآیندهای شیمیایی پیچیده در رشد قارچ و تخریب بستر، استفاده کرد.

**تشکر و قدردانی**  
نگارندگان بر خود لازم می‌دانند از کارکنان اداره کل میراث فرهنگی، صنایع دستی و گردشگری خراسان جنوبی، به ویژه جناب آقای مهندس محمدعلی بزرگمهر به‌سبب در اختیار قرار دادن نمونه‌های مورد بررسی، کمال تشکر را داشته باشند.

## References

- (1) Mesquita N, Portugal A, Videira S, Rodríguez-Echeverría S, Bandeira AML, Santos MJA, et al. Fungal diversity in ancient documents. A case study on the Archive of the University of Coimbra. *International Biodeterioration & Biodegradation* 2009; 63 (5): 626-9.
- (2) Ebrahimi A, Karimi S, Lotfalian S, Majidi F. Allergenic fungi in deteriorating historic objects of Shahrekhord Museum, in Iran. *Jundishapur Journal of Microbiology* 2011; 4 (4): 261-5.
- (3) Milanesi C, Baldi F, Vignani R, Ciampolini F, Falieri C, Cresti M. Fungal deterioration of medieval wall fresco determined by analysing small fragments containing copper. *International Biodeterioration & Biodegradation* 2006; 57 (1): 7-13.

- (14) Karbowska-Berent J, Strzelczyk A. *The Role of Streptomyces in the Biodeterioration of Historic Parchment.* Torün, Poland: Wydawn, Uniwersytetu Mikołaja Kopernika; 2000.
- (15) Vaneechoutte M, Van Eldere J. The possibilities and limitations of nucleic acid amplification technology in diagnostic microbiology. *Journal of Medical Microbiology* 1997; 46 (3): 188-94.
- (16). Erukhimovitch V, Tsror L, Hazanovsky M, Talyshinsky M, Mukmanov I, Souprun Y, et al. Identification of fungal phytopathogens by Fourier-transform infrared (FTIR) microscopy. *Journal of Agricultural Technology* 2005; 1 (1): 145-52.
- (17) Lamprell H, Mazerolles G, Kodjo A, Chamba JF, Noël Y, Beuvier E. Discrimination of *Staphylococcus aureus* strains from different species of *Staphylococcus* using Fourier transform infrared (FTIR) spectroscopy. *International Journal of Food Microbiology* 2006; 108 (1): 125-9.
- (18) Salman A, Tsror L, Pomerantz A, Moreh R, Mordechai S, Huleihel M. FTIR spectroscopy for detection and identification of fungal phytopathogens. *Spectroscopy* 2010; 24: 261-7.
- (19) Erukhimovitch V, Pavlov V, Talyshinsky M, Souprun Y, Huleihel M. FTIR microscopy as a method for identification of bacterial and fungal infections. *Journal of Pharmaceutical and Biomedical Analysis* 2005; 37 (5): 1105-8.
- (20) Naumann D, Helm D, Labischinski H. Microbiological characterizations by FT-IR spectroscopy. *Nature* 1991; 351 (6321): 81-2.
- (21) Gupta MJ, Irudayaraj JM, Debroy C, Schmilovitch Z, Mizrahi A. Differentiation of food pathogens using FTIR and artificial neural networks. *Transactions of the ASABE* 2005; 48 (5): 1889-92.
- (22) Rigas B, Laguardia K, Qiao L, Bhandare PS, Caputo T, Cohenford MA. Infrared spectroscopic study of cervical smears in patients with HIV: Implications for cervical carcinogenesis. *Journal of Laboratory and Clinical Medicine* 2000; 135 (1): 26-31.
- (23) Huleihel M, Erukhimovitch V, Talyshinsky M, Karpasas M. Spectroscopic Characterization of Normal Primary and Malignant Cells Transformed by Retroviruses. *Appl Spectrosc.* 2002; 56 (5): 640-5.
- (24) Salman A, Erukhimovitch V, Talyshinsky M, Huleihil M, Huleihel M. FTIR-Spectroscopic method for detection of cells infected with herpes viruses. *Biopolymers* 2002; 67: 406-12.
- (25) Gordon SH, Jones RW, McClelland JF, Wicklow DT, Greene RV. Transient Infrared Spectroscopy for Detection of Toxigenic Fungi in Corn: Potential for Online Evaluation. *Journal of Agricultural and Food Chemistry* 1999; 47 (12): 5267-72.
- (26) Mariey L, Signolle JP, Amiel C ,Travert J. Discrimination, classification, identification of microorganisms using FTIR spectroscopy and chemometrics. *Vibrational Spectroscopy*. 2001; 26 (2): 151-9.
- (27) Maquelin K, Kirschner C, Choo-Smith L-P, Ngo-Thi NA, van Vreeswijk T, Stämmler M, et al. Prospective Study of the Performance of Vibrational Spectroscopies for Rapid Identification of Bacterial and Fungal Pathogens Recovered from Blood Cultures. *Journal of Clinical Microbiology* 2003; 41 (1): 324-9.
- (28) Naumann A, Navarro-González M, Peddireddi S, Kües U, Polle A. Fourier transform infrared microscopy and imaging: Detection of fungi in wood. *Fungal Genetics and Biology* 2005; 42 (10): 829-35.

- (29) Fischer G, Braun S, Thissen R, Dott W. FT-IR spectroscopy as a tool for rapid identification and intra-species characterization of airborne filamentous fungi. *Journal of Microbiological Methods* 2006; 64 (1): 63-77.
- (30) Szeghalmi A, Kaminskyj S, Gough K. A synchrotron FTIR microspectroscopy investigation of fungal hyphae grown under optimal and stressed conditions. *Anal Bioanal Chem* 2007; 387 (5): 1779-89.
- (31) Lefier D, Hirst D, Holt C, Williams AG. Effect of sampling procedure and strain variation in *Listeria monocytogenes* on the discrimination of species in the genus *Listeria* by Fourier transform infrared spectroscopy and canonical variates analysis. *FEMS Microbiology Letters* 1997; 147 (1): 45-50.
- (32) Beattie SH, Holt C, Hirst D, Williams AG. Discrimination among *Bacillus cereus*, *B. mycoides* and *B. thuringiensis* and some other species of the genus *Bacillus* by Fourier transform infrared spectroscopy. *FEMS Microbiology Letters* 1998; 164 (1): 201-6.
- (33) ISIRI 3194, Food microbiology – Heat resistant molds - Detection method of spore. 1386.
- (34) ISIRI 9899, Microbiology of food and animal feeding stuffs – Guideline of general requirements for examination. 1386.
- (35) Rezaeian F, Zamen Milani F, Kazemi G, Nia M, GhaemMaghami, Vahed Jabari M Survey of tea and traditional drinks contamination to mycotoxinogenic fungi in Tabriz city. Proceedings of the 9th Iranian Nutrition Congress; 2006 September 4-7; Tabriz university of medical sciences, Tabriz, Iran.
- (36) Singh A, Ganguli M, Singh AB. Fungal spores are an important component of library air. *Aerobiologia* 1995; 11 (4): 231-7.
- (37) Abrusci C, Martín-González A, Del Amo A, Catalina F, Collado J, Platas G. Isolation and identification of bacteria and fungi from cinematographic films. *International Biodeterioration & Biodegradation* 2005; 56 (1): 58-68.
- (38) Vivar I, Borrego S, Ellis G, Moreno DA, García AM. Fungal biodeterioration of color cinematographic films of the cultural heritage of Cuba. *International Biodeterioration & Biodegradation*. 2013; (accepted)
- (39) Hamdy HS. Extracellular collagenase from *Rhizoctonia solani*: Production, purification and characterization. *Indian Journal of Biotechnology (IJBT)* 2008; 7 (3): 333-40.
- (40) Krishna KV, Gupta M, Gupta N, Gaudani H, Trivedi S, Patil P, et al. Optimization of growth and production of protease by *Penicillium* species using submerged fermentation. *International Journal of Microbiology Research* 2009; 1 (1): 14-8.
- (41) Bensch K, Groenewald JZ, Dijksterhuis J, Starink-Willemsen M, Andersen B, Summerell BA, et al. Species and ecological diversity within the *Cladosporium cladosporioides* complex (Davidiellaceae, Capnodiales). *Studies in Mycology* 2010; 67 (1): 1-94.
- (42) Radha S, Nithya VJ, Himakiran Babu R, Sridevi A, Prasad N, Narasimha G. Production and optimization of acid protease by *Aspergillus* spp under submerged fermentation. *Archives of Applied Science Research* 2011; 3 (2): 155-63.
- (43) Mihali CV, Buruiana A, Turcus V, Covaci A, Ardelean A. Morphology and ultrastructure aspects in species belongs to *Trichophyton* genus using light and scanning electron microscopy. *Annals of RSCB* 2012; 17 (1): 90-5.
- (44) Popescu C, Budrigeac P, Wortmann FJ, Miu L, Demco DE, Baias M. Assessment of collagen-based materials which are supports

- of cultural and historical objects. *Polymer Degradation and Stability* 2008; 93 (5): 976-82.
- (45) Chandra T, Madhavakrishna W, Nayudamma Y. Astringency in fruits. I-Microbial degradation of catechin. *Canadian Journal of Microbiology* 1969; 15 (3): 303-6.
- (46) Arunakumari A, Mahadevan A. Utilization of aromatic substances by Pseudomonas solanacearum. *Indian journal of experimental biology* 1984; 22 (1): 32-6.
- (47) Groenewoud G, Hundt HK. The microbial metabolism of (+)-catechin to two novel diarylpropan-2-ol metabolites in vitro. *Xenobiotica* 1984; 14 (9): 711-7.
- (48) Sambandam T, Mahadevan A. Degradation of catechin and purification and partial characterization of catechin oxygenase from *Chaetomium cupreum*. *World J Microbiol Biotechnol* 1993; 9 (1): 37-44.
- (49) Waheeta H, Mahadevan A. Degradation and cometabolism of catechin by *Bradyrhizobium japonicum*. *Biodegradation* 1997; 13: 601-7.
- (50) Arunachalam M, Mohan Raj M, Mohan N, Mahadevan A. Biodegradation of Catechin. *Proceedings of the Indian National Science Academy* 2003; 69 (4): 353-70.
- (51) Mohammadi Achachluei M. *Pathologic assessment of manuscripts in the archive (Malek National Library and Museum Institution) respecting to biological deterioration*. Research project in Malek National Library and Museum Institution. Tehran, Iran; 2012.
- (52) Khodaparast SA. *Fungal Kingdom*. Rasht: University of Guilan Press; 2010.
- (53) De Hoog GS. *Atlas of Clinical Fungi*, Second Edition. Washington D.C.: Amer Society for Microbiology; 2000.
- (54) Dukor RK. Vibrational spectroscopy in the detection of cancer. In: Chalmers JM, Griffiths P, editors. *Handbook of Vibrational Spectroscopy*. 5. London: WILEY; 2002. p. 3335-60.
- (55) Sivakesava S, Irudayaraj J, DebRoy C. Differentiation of microorganisms by FTIR-ATR and NIR spectroscopy. *Transactions of the ASAE* 2004; 47 (3): 951-7.
- (56) Yang D, Castro D, EI-Sayed I, EI-Sayed M, Saxon R, Nancy Y. Fourier-transform infrared spectroscopic comparison of cultured human fibroblast and fibrosarcoma cells. *Proceedings of SPIE* 1995; 2389: 543-50.
- 
- <sup>1</sup>. Mycotoxin
  - <sup>2</sup>. Proteolytic
  - <sup>3</sup>. Streptomyces
  - <sup>4</sup>. Molecular biology methods
  - <sup>5</sup>. Spectroscopic techniques
  - <sup>6</sup>. Attenuated Total Reflectance Fourier Transform Infrared
  - <sup>7</sup>. Quelab
  - <sup>8</sup>. Allition
  - <sup>9</sup>. FTIR Spectrometer
  - <sup>10</sup>. Nicolet Nexus 470
  - <sup>11</sup>. Thermo Nicolet
  - <sup>12</sup>. PIKE MIRacle attenuated total reflectance (ATR)
  - <sup>13</sup>. Ward's algorithm
  - <sup>14</sup>. Baseline correction
  - <sup>15</sup>. Scanning Electron Microscope
  - <sup>16</sup>. Catechin
  - <sup>17</sup>. Condensed Tannins
  - <sup>18</sup>. Acid metabolites
  - <sup>19</sup>.  $\beta$ -ketoadipate
  - <sup>20</sup>. Protocatechic
  - <sup>21</sup>. Phloroglucinol carboxylic acid
  - <sup>22</sup>. Catechol
  - <sup>23</sup>. Aflatoxin B1
  - <sup>24</sup>. Ochratoxin A
  - <sup>25</sup>. Patulin
  - <sup>26</sup>. Sterigmatocystin
  - <sup>27</sup>. Cyclopiazonazole
  - <sup>28</sup>. Citrinin
  - <sup>29</sup>. Penitrem A
  - <sup>30</sup>. Fagocladosporic acid
  - <sup>31</sup>. Epicladosporic acid
  - <sup>32</sup>. Aspergillosis
  - <sup>33</sup>.  $\beta$  (1→3) polysaccharides
  - <sup>34</sup>.  $\beta$  (1→3) glucan
  - <sup>35</sup>. Galactomannans
  - <sup>36</sup>.  $\beta$  (1→6) glucans
  - <sup>37</sup>. Mannans



## Differentiation and identification of fungi by ATR-FTIR method in a leather collection relating back to Seljuk period

Alireza Koochakzaei \*

Ph.D. student student of conservation and restoration of historic and cultural property, Art University of Isfahan, Iran, alireza.k.1989@gmail.com

Hosseyn Ahmadi

Assistant Professor of conservation and restoration of historic and cultural property, Art University of Isfahan, Iran, h.ahmadi@au.ac.ir

Mohsen Mohammadi Achachluei

Ph.D. student of conservation and restoration of historic and cultural property, Art University of Isfahan, Iran, mohsen.mohammadi@au.ac.ir

### Abstract

**Introduction:** Biodegradation is one of the main degrading factors of leather artifacts. Determination of fungi and other microorganisms has vital importance for conservation of valuable objects made from organic materials. Usual classic techniques for identification of pathogens and fungi have some difficulties, but FTIR spectroscopy has been introduced as useful technique for characterization and determination of microorganisms.

**Materials and methods:** In this study, historic leathers were related to the Seljuk period. The leathers were sampled in laboratory and fungi were cultivated in SDA medium. Genuses of fungi were identified according to macroscopic, microscopic and morphologic characteristics. Microorganisms were analyzed by ATR-FTIR spectrometer and differences of spectral properties were assessed. Spectral properties were assessed according to form and absorption region of peaks. Cluster analysis was used for evaluation of different regions and areas on the measured spectra.

**Results:** Results showed the presence of *Penicillium* sp. (9 samples, 33.3%), *Aspergillus* sp. (5 samples, 18.5%), *Cladosporium* sp. (4 samples, 14.8%), *Rhizoctonia* sp. (2 samples, 7.4%), *Trichophyton* sp. (1 sample, 3.7%) and also one sample of yeast (3.7%). Two species of fungi remained unidentified (7.4%) and there was not any growth in 3 samples (11.1%). Spectral properties indicated to structural differences between microorganisms (fungi, yeast, bacteria). It showed characteristics of fungi genus and species in some cases.

**Discussion and conclusion:** Active fungi induce decomposition, hydrolysis and decay of leather and its vegetable tannins. The decay leads to aesthetic change and health problems. Therefore, it is necessary to remove of fungi and appropriate treatment of leather artifacts. Application of ATR-FTIR spectroscopy had good results for identification of fungi, yeast and bacteria. Assessments showed the potential of ATR-FTIR spectroscopy for easy and rapid discrimination between microorganisms and specially fungi genus and species in some cases. This study indicated the possibility of developing FTIR-ATR spectroscopy as a reliable method for rapid identification of fungal pathogens. Advantages of the method showed that it was an appropriate technique for fungi evaluation in large scale. IR spectroscopy could help in identification and classification of fungi. Combining the advantages of FTIR spectroscopy with other used routine techniques, might improve the efficiency of fungal classification and identification. Chemical composition of the samples can be simultaneously analyzed. Chemical analysis by FTIR spectroscopy results to better understanding of fungi growth and complex chemical processes during fungal development and substrate degradation.

**Key words:** Historical leather, Biodeterioration, Fungi, ATR-FTIR, Spectral properties

\* Corresponding Author

Received: February 24, 2013 / Accepted: September 6, 2013